

Modification of Polyamide Nanofiltration Membrane by Coating Graphene Oxide Nanoparticles for Cobalt Heavy Metal Removal from Industrial Wastewater

Sh. Lari¹, D. Emadzadeh², S. A. Mousavi Parsa³, S. Akbari⁴

1. PhD. Candidate, Dept. of Chemical Engineering, Yasuj Branch,
Islamic Azad University, Yasuj, Iran
2. Assist. Prof., Dept. of Chemical Engineering, Membrane Science and
Technology Research Center (MSTRC), Gachsaran Branch,
Islamic Azad University, Gachsaran, Iran
3. Assist. Prof., Dept. of Chemical Engineering, Yasuj Branch,
Islamic Azad University, Yasuj, Iran
(Corresponding Author) aghadami80@gmail.com
4. Assist. Prof., Dept. of Textile Engineering, Amirkabir University of
Technology (Polytechnic Tehran), Tehran, Iran

(Received Dec. 19, 2021 Accepted March 10, 2022)

To cite this article:

Lari, Sh., Emadzadeh, D., Mousavi Parsa, S. A., Akbari, S. 2022. "Modification of polyamide nanofiltration membrane by coating graphene oxide nanoparticles for cobalt heavy metal removal from industrial wastewater" Journal of Water and Wastewater, 33(3), 15-26. Doi:10.22093/wwj.2022.320592.3214. (In Persian)

Abstract

The application of hydrophilic nanoparticles to modify the surface of the membrane is one of the suitable approaches to improve the properties of thin-film composite membranes, particularly for the removal of heavy metals from aqueous environments. In this research, a thin-film polyamide nanofiltration membrane with porous polysulfone substrate was prepared by TMC and PIP interfacial polymerization technique. To modify the surface of TFC membranes and produce new TFN membranes by a nanoparticle coating method, graphene oxide nanoparticles modified with 3-aminopropyltriethoxysilane were dispersed in EDC solution as an activator of functional groups, and then were layered by coating the surface of the polyamide membrane. Physicochemical features using scanning electron microscopy, Fourier Transform Infrared, water contact angle, and hydrophilicity to assess structure, morphology as well as tests of water flux and rejection rate were evaluated to estimate the performance and efficiency of the synthesized membranes in the filtration system. The findings indicated that



increasing the concentration of nanoparticles improves the hydrophilicity nanocomposite membranes compared to neat TFC membranes. Functional results and membrane filtration indicated that the amount of neat water permeability of the fabricated membranes increases with increasing concentration of graphene oxide nanoparticles from about $42 \text{ L/m}^2\cdot\text{h}$ for TFC membrane to $95 \text{ L/m}^2\cdot\text{h}$ for the membrane containing 0.1 weight percent of graphene oxide. This trend shows the positive effect of nanoparticles on membrane water permeability. Furthermore, the rejection of cobalt heavy metal with increasing pH from 3 to 8 for all membrane samples has an upward trend, so that TFN3 membrane has the highest rate of rejection (98%) of heavy metal compared to other membranes while the amount of flux with changing pH and increasing the concentration of nanoparticles, has a decreasing trend. So, this technique can be applied as a new and effective method for the removal of heavy metals.

Keywords: TFC Membrane, TFN Membrane, Surface Modification, Graphene Oxide.



اصلاح سطح غشای نانوفیلتراسیون پلیآمید با پوشش نانوذرات اکسید گرافن برای حذف فلز سنگین کبات از پساب‌های صنعتی

شکرالله لاری^۱، داریوش عmadزاده^۲، سیدابوطالب موسوی پارسا^۳، سمیه اکبری^۴

۱- دانشجوی دکترا، گروه مهندسی شیمی، واحد یاسوج، دانشگاه آزاد اسلامی، یاسوج، ایران

۲- استادیار، گروه مهندسی شیمی، مرکز تحقیقات علم و فناوری خواه، واحد گچساران، دانشگاه آزاد اسلامی، گچساران، ایران

۳- استادیار، گروه مهندسی شیمی، واحد یاسوج، دانشگاه آزاد اسلامی، یاسوج، ایران

[\(تویینده مسئول\)](mailto:aghadami80@gmail.com)

۴- استادیار، گروه مهندسی نساجی، امیرکبیر دانشگاه صنعتی (پلی تکنیک تهران)، تهران، ایران

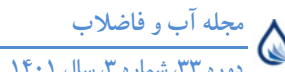
(دریافت ۱۴۰۰/۹/۲۸) پذیرش ۱۴۰۰/۱۲/۱۹

برای ارجاع به این مقاله به صورت زیر اقدام بفرمایید:
لاری، ش.، عmadزاده، د.، موسوی پارسا، س.، ا.، اکبری، س.، ۱، ۱۴۰۱، "اصلاح سطح غشای نانوفیلتراسیون پلیآمید با پوشش نانوذرات اکسید گرافن برای حذف فلز سنگین کبات از پساب‌های صنعتی" مجله آب و فاضلاب، ۳۳(۲۲)، ۱۵-۲۶.
Doi:10.22093/wwj.2022.320592.3214

چکیده

استفاده از نانوذرات آبدوست برای اصلاح سطح غشا، از جمله روش‌های مناسب بهمنظور بهبود خواص غشاهای فیلم نازک کامپوزیتی بهویژه در زمینه حذف فلزات سنگین از محیط‌های آبی است. در این پژوهش غشای نانوفیلتراسیون پلیآمیدی فیلم نازک با زیرلایه متخلخل پلی‌سولفون بهروش پلیمریزاسیون بین سطحی تری‌مسویل کلراید و پیرازین تهیه شد. به منظور اصلاح سطح غشاهای ساخت غشای جدید نانوکامپوزیت فیلم نازک بهروش پوشش‌دهی، نانوذرات اکسید گرافن اصلاح شده با ۳-آمینو پروپیل تری‌اتوکسی سیلان درون محلول ۱-اتیل ۳- (۳- دی‌متیل آمینو پروپیل کربوکسیلیک اسید هیدرو کلراید) به عنوان فعال کننده گروه‌های عاملی پراکنده و سپس بهروش پوشش دهی بر روی سطح غشای پلیآمیدی لایه نشانی شد. ویژگی‌های فیزیکو‌شیمیایی با استفاده از آنالیزهای میکروسکوپ الکترونی روبشی، طیف‌спектرونی مادون قرمز، زاویه تماس آب و آبدوستی به منظور بررسی ساختار، مورفو‌لوجی و همچنین تست‌های اندازه‌گیری شار آب و میزان پس‌زنی برای بررسی عملکرد و کارایی غشاهای سنتز شده در سیستم فیلتراسیون، ارزیابی شد. نتایج نشان داد که افزایش غلظت نانوذرات منجر به بهبود خاصیت آبدوستی سطح غشاهای نانوکامپوزیت نسبت به غشای خالص می‌شود. نتایج عملکردی و فیلتراسیون غشایی نشان داد که مقدار شار آب خالص غشاهای ساخته شده، با افزایش غلظت نانوذرات اکسید گرافن افزایش می‌باید، به طوری که مقدار آن از حدود $42 \text{ L/m}^2 \cdot \text{h}$ برای غشای خالص تا $95 \text{ L/m}^2 \cdot \text{h}$ برای غشای محتوی ۱/۰ درصد وزنی اکسید گرافن افزایش یافت. این روند نشان‌دهنده اثر مثبت نانوذرات بر گذردهی آب غشاهای بود. علاوه بر این میزان پس‌زنی فلز سنگین کبات با تغییر pH از ۳ تا ۸ برای همه نمونه‌های غشایی روند صعودی داشت، به طوری که غشای TFN3، بینترین میزان پس‌زنی (۹۸ درصد) فلز سنگین را نسبت به غشاهای دیگر داشت. این درحالی است که مقدار شار عبوری با تغییر pH و افزایش غلظت نانوذرات، روند کاهشی داشت. از این‌رو می‌توان، این روش را به عنوان یک روش جدید و مؤثر در زمینه حذف فلزات سنگین، استفاده کرد.

واژه‌های کلیدی: غشای TFC، غشای اصلاح سطح، اکسید گرافن



۱- مقدمه

در پژوهشی دیگر، برای ساخت غشای نانوفیلتراسیون TFN، از ترکیب نانوذرات GO عامل دار شده با آمین استفاده شد. غشاهاي نانوکامپوزيت، قابلیت های خدررسوب عالی، مقاومت در برابر کلر و همچنین پایداری مکانیکی را در مقایسه با غشاهاي خالص نشان دادند (Shao et al., 2019).

در این پژوهش غشای TFN جدید به روش پوشش دهنده نانوذرات بر سطح غشای خالص ساخته شد. برای این منظور نانوذرات GO با استفاده از ۳-آمینو پروپیل تریاتوکسی سیلان عامل دار و اصلاح شد. در ادامه نانوذرات اصلاح شده GO بر سطح غشای خالص به روش کوتینگ لایه نشانی شد. در نهایت به منظور حذف فلز سنگین کبالت در محیط آبی استفاده شد. بنابراین هدف اصلی این پژوهش، ارائه یک غشای TFN جدید با خواص ارتقا یافته و افزایش ظرفیت جذب توسط نانوذرات GO اصلاح شده به عنوان لایه ترکیبی با خواص آبدوستی و جذب فوق العاده بود، به گونه‌ای که کارایی زیادی در جداسازی و حذف فلزات سنگین از محیط‌های آبی داشته باشد.

۲- مواد و روش‌ها

۲-۱- مواد

برای ساخت زیرلایه و غشای پلی آمیدی فیلم نازک، از پلی‌سولفون^۳، متیل ۲ پیرولیدون^۴ (۹۹/۵ درصد)، پلی‌وینیل پیرولیدون^۵ و آب دیونیزه شده محصول شرکت سیگما آلدريچ^۶ و تری مسویل کلراید^۷، پیپرازین^۸ و هگران، محصول شرکت مرک^۹ استفاده شد. نانوذرات گرافیت (با اندازه متوسط ذرات کمتر از ۱۰۰ نانومتر) و ۳-آمینو تریاتوکسی سیلان^{۱۰} همچنین پرمونگات پتاسیم، اتانول (۹۵ درصد)، اسید سولفوریک (۹۸ درصد)، اسید فسفریک (۸۵ درصد) و اسید کلریدریک (۳۷ درصد) که از شرکت مرک خریداری شدند، برای ستز و اصلاح GO به کار برده

پساب‌های خروجی صنایع متعدد که حاوی یون‌های فلزی سنگین هستند با تفویض در محیط و آب، تأثیر منفی و زیان‌آوری بر محیط و سلامت انسان دارند (Kumar and Sharma, 2019). بنابراین، یافتن یک فناوری مناسب برای حذف یون‌های فلزات سنگین در آب ضروری است. فرایندهای مناسب برای حذف یون‌های فلزات سنگین در آب آب عبارت‌اند از: الکترولیز، رسوب شیمیایی، تبادل یونی، جداسازی غشایی و جذب. از بین آنها، جداسازی غشا به دلیل کارایی زیاد، صرفه‌جویی در فضا و سازگاری با محیط‌زیست، اهمیت ویژه‌ای دارد (Khaligh and Johan, 2020).

به طور خاص، نانوفیلتراسیون به دلیل داشتن ویژگی‌های منحصر به فرد جداسازی، روش بسیار امیدوارکننده برای حذف یون‌های فلز سنگین در آب محسوب می‌شود. غشاهاي نانوفیلتراسیون در فشار کم، شار نسبتاً زیادی تولید می‌کنند و به مقدار پس‌زنی خیلی خوب نیز می‌رسند (Saeedi-Jurkuyeh et al., 2020). اخیراً ترکیب نانوذرات در غشاهاي فیلم نازک، باعث شکل‌گیری ساختار غشای نانوکامپوزیت فیلم نازک^۱ شده است (Zargar, 2016).

اصلاح سطح لایه فوقانی راهکاری است که امروزه مورد توجه پژوهشگران قرار گرفته است (Hermans et al., 2014). نانوذراتی که اغلب برای سنتز غشاهاي نانوکامپوزيت استفاده شده است شامل زئولیت، دی‌اسید تیتانیوم، اکسید گرافن^۲، نقره، سیلیس و فلزات آلی است (Shukla et al., 2018).

GO نیز از ترکیبات جدیدی است که اخیراً به دلیل پایداری شیمیایی، سطح ویژه بسیار زیاد، خاصیت جذب مناسب و گروه‌های عاملی مانند هیدروکسیل، کربوکسیل و کربونیل، مورد توجه قرار گرفته است.

در پژوهشی، ساخت غشاهاي TFN با جاسازی نانوذرات GO در سطح غشاهاي پلی آمیدی بر اساس تکنیک پلیمریزاسیون سطحی ارائه شد. مشخص شد که با حضور GO، به دلیل افزایش گروه‌های هیدروکسیل و کربوکسیل در لایه پلی آمید، آبدوستی سطح بالاتری از خود نشان می‌دهد (Lai et al., 2018).

¹ Thin Film Nanocomposite (TFN)

² Graphene Oxide (GO)

³ Polysulfone (PSF)

⁴ N-Methyl 2 Pyrrolidone (NMP)

⁵ Poly Vinyl Pyrrolidone (PVP)

⁶ Aldrich

⁷ Trimesoyl Chloride (TMC)

⁸ Piperazine

⁹ Merck

¹⁰ 3-Aminopropyltriethoxysilane (APTES)



GO اصلاح شده، در دمای ۱۰۰ درجه سلسیوس خشک شد (Li et al., 2013).

۴-۲- ساخت غشای کامپوزیت فیلم نازک^۲

مرحله اول شامل آماده‌سازی زیرلایه پلی‌سولفونی بود، برای این منظور ابتدا محلول ریخته‌گری با حل کردن پلیمر پلی‌سولفون با غلظت ۱۶/۵ درصد وزنی در حلال NMP با غلظت ۸۳ درصد وزنی آماده شد. بعد از آماده کردن محلول ریخته‌گری، ۱ درصد وزنی افزودنی PVP اضافه کرده و محلول حاصل، به مدت ۲۴ ساعت روی همزن مغناطیسی قرار داده شد. محلول پلیمری عاری از هوا بر روی شیشه خشک به صورت فیلم نازک پلیمری با استفاده از یک فیلم‌کش مخصوص قالب‌گیری بر روی یک قاب شیشه‌ای با ضخامت ۲۰۰ میکرومتر قالب زده شد و بلا فاصله درون حمام غیرحلال در دمای اتاق غوطه‌ور شد. در این مرحله تبادل بین حلال و غیرحلال سبب شکل‌گیری غشا شد و طی چند ثانیه غشاهای از طریق جدایش فازی ساخته شدند. برای ساخت لایه پلی‌آمیدی فیلم نازک از غشاهای خالص، زیرلایه پلی‌سولفونی سنتز شده را بر روی یک صفحه شیشه‌ای قرار داده و با یک واشر لاستیکی ثابت نگه داشته شد. سپس، محلول پیپرازین^۳ با غلظت ۲ درصد وزنی که به مدت ۲۴ ساعت با همزن مغناطیسی هم زده شد، طی زمان ۲ دقیقه به زیرلایه پلی‌سولفونی اضافه شد و پس از مدتی کاملاً خشک شد. سپس محلول ۱۶/۰ درصد وزنی TMC که به مدت ۲۴ ساعت با همزن مغناطیسی هم زده شده، طی مدت زمان ۱ دقیقه به زیرلایه پلی‌سولفونی اضافه شد. به منظور حذف PIP و TMC واکنش نداده از سطح غشای TFC، غشا با n-هگزان شسته شد. سپس غشای ساخته شده برای مدت ۵ دقیقه در دمای ۶۰ درجه سلسیوس درون آون قرار داده شد (Emadzadeh et al., 2015).

۵-۲- آماده‌سازی غشای TFC

ساخت و اصلاح سطح غشای پلی‌آمیدی فیلم نازک TFC بعد از تشكیل لایه نازک سطحی و از طریق پوشش دهی نانوذرات GO بر سطح غشا انجام شد. گروه‌های عاملی سطح غشای پلی‌آمیدی، پس از فعال‌سازی توسط EDC با نانوذرات GO واکنش می‌دهند و

² Thin Film Composite (TFC)

³ Piperazine (PIP)

شدند. EDC^۱ به عنوان فعال‌کننده سطح غشای پلی‌آمیدی و برای آماده‌سازی غشای TFC استفاده شد. کبات (II) نیترات هگزا هیدرات به عنوان نمونه فلز سنگین برای آماده‌سازی محلول خوراک، بررسی شد.

۲-۲- سنتز نانوذرات GO

در این پژوهش، نانوذرات GO با استفاده از پودرگرافیت به روش هامر بهبودیافته آماده شد. به این ترتیب که ابتدا ۳ گرم گرافیت به مخلوط سولفوریک اسید ۹۸ درصد با فسفریک اسید (%) V/V (۳۶۰:۴۰) با نسبت ۹:۱ اضافه شد، سپس به مدت ۲ ساعت تحت همزن قرار گرفت. در ادامه ۱۸ گرم KMnO₄ به مخلوط اضافه شد و محلول حاصل به مدت ۲۴ ساعت به طور پیوسته و یکنواخت در دمای ۵۰ درجه سلسیوس و روی همزن مغناطیسی هم زده شد. پس از گذشت ۲۴ ساعت، محلول را خنک کرده و دمای محلول تا نزدیک صفر درجه سلسیوس پایین آمد و محلول به آهستگی به ۴۰۰ ml یخ تهیه شده از آب مقطر اضافه شد. برای تکمیل عملیات اکسیداسیون، ۳ ml هیدروژن پراکسید به آن اضافه شد و همچنین ظرف در حمام یخ قرار گرفت تا دما بالا نرود و واکنش کامل انجام شود و در مراحل بعد نیز به ترتیب با آب مقطر، اسید کلریدریک و نیز با اتانول شستشو داده شد. در نهایت پودر GO را در آون خلاً قرار داده تا خشک شد (Marcano et al., 2010).

۳-۲- اصلاح شیمیایی نانوذرات GO به وسیله APTES

اصلاح سطح GO با استفاده از APTES انجام شد. برای این منظور GO اصلاح شده طبق روش زیر سنتز شد: ابتدا ۳۰۰ mg GO با ۱۵۰ ml اتانول به کمک دستگاه فرا صوت به مدت ۳۰ دقیقه و در دمای محیط پراکنده شد. سپس ۲/۳ ml از ماده APTES در حضور گاز نیتروژن به سوپسانیون تهیه شده، اضافه شد. مخلوط بیان شده به مدت ۲۴ ساعت در دمای محیط و تحت رفلaks هم زده شد. در نهایت فاز جامد بدست آمده به مدت ۱۰ دقیقه و با سرعت ۴۰۰۰ rpm ساتریفیوژ شده و سپس ۸ بار با اتانول و ۸ بار با آب شستشو داده شد تا APTES باقیمانده از بین برود. برای استفاده از

¹ 1-Ethyle-3-(3-Dimethylaminopropylcarbodiimide Hydrochloride (EDC)



$$Q = \frac{V \times (C_1 - C_2)}{W} \quad (3)$$

که در آن

V حجم محلول (L) C_1 , C_2 , W وزن غشاها است. C_1 به ترتیب غلظت Co^{+2} در محلول تراوش یافته و خوراک هستند.

۷-۲- مشخصه یابی غشاها

از دستگاه طیف‌سنجی مادون قرمز تبدیل فوریه^۱ مدل EQUIONIX55 برای شناسایی گروه‌های عاملی موجود در ساختار شیمیایی استفاده شد. زاویه تماس با استفاده از دستگاه اندازه‌گیری زاویه تماس مدل CA-VP, Kyowa (Model CA-VP, Kyowa) اندازه‌گیری و آرزیابی شد. برای مشاهده ساختار غشاها عکس برداری با استفاده از میکروسکوپ الکترونی روبشی^۲ از سطح مقطع غشا انجام شد.

۳- نتایج و بحث

۳-۱- آنالیز FTIR غشاها ساخته شده

به منظور بررسی ایجاد گروه‌های عاملی ایجاد شده در سطح نانوذرات و ساختار شیمیایی آنها از آنالیز FTIR در محدوده 500 تا 4000 cm^{-1} استفاده شد. شکل‌های ۱ و ۲ به ترتیب طیف‌های FTIR GO و TFN را نشان می‌دهند. GO و TFN شارح‌جمی (Lm²h⁻¹)، V دبی حجمی آب تراوش یافته (Lh⁻¹), A سطح مؤثر غشا (m²) و T زمان (h) است. مقدار پس زنی با استفاده از معادله ۲ محاسبه می‌شود

غشا TFN را تشکیل می‌دهند. به منظور ترکیب نانوذرات GO با سطح غشاها TFC، غلظت‌های مختلف نانوذرات (۰/۱، ۰/۰۵، ۰/۰۲۵ wt %) با فعال‌کننده (۰.۰۶wt%) EDC ترکیب شده، سپس محلول حاصل را به مدت ۱ ساعت در اولتراسونیک قرار داده تا نانوذرات کاملاً پراکنده شود. سرانجام، سطح هر غشا به مدت ۱ ساعت با محلول GO و EDC پوشش داده شد تا نانوذرات با سطح غشا خالص واکنش دهند. غشاها نانوکامپوزیت ساخته شده بر اساس غلظت‌های استفاده شده از نانوذرات GO به ترتیب TFN1, TFN2 و TFN3 نام‌گذاری شدند.

۶- ارزیابی عملکرد غشاها ساخته شده

آزمایش‌های حذف فلزات سنگین (کبالت) در حالت پایدار و با اندازه‌گیری مقدار پس زنی فلز سنگین (کبالت) محلول عبوری، در فشار ۸ بار، دمای محیط و غلظت ۱۰۰ ppm از محلول خوراک انجام شد. برای به دست آوردن شار، حجم آب تراوش شده در مدت زمان مشخص اندازه‌گیری شد. معادله ۱ برای تعیین شار تراوش پذیری غشا استفاده شد. مقدار شار حجمی تحت شرایط حالت پایدار در دمای اتاق با استفاده از معادله زیر تعیین می‌شود

$$J_V = \frac{V}{A \times \Delta t} \quad (1)$$

که در آن

J_V شارح‌جمی (Lm^2h^{-1}), V دبی حجمی آب تراوش یافته (Lh^{-1}), A سطح مؤثر غشا (m^2) و T زمان (h) است. مقدار پس زنی با استفاده از معادله ۲ محاسبه می‌شود

$$R = \left(1 - \frac{C_p}{C_f}\right) * 100 \quad (2)$$

که در آن

C_p غلظت فلز سنگین در جریان تراوش یافته از غشا و C_f غلظت فلز سنگین در جریان خوراک است. غلظت یون‌های فلزات سنگین با استفاده از دستگاه جذب اتمی مدل AA-680 ساخت شرکت Shimadzu ژاپن اندازه‌گیری شد. ظرفیت جذب غشا (Q) از معادله ۳ محاسبه می‌شود (Zeng et al., 2016)

¹ Fourier Transform Infrared (FTIR)

² Scanning Electron Microscopy (SEM)



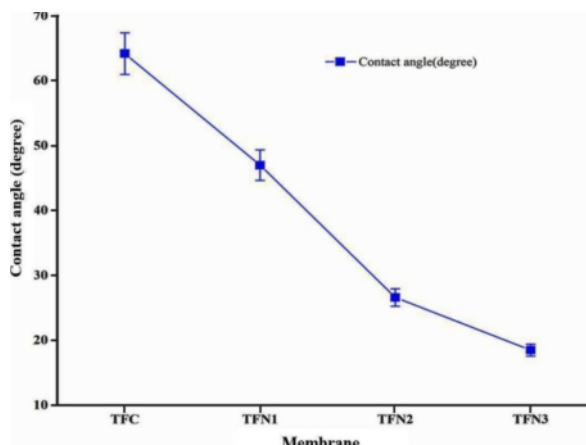


Fig. 3. Water contact angle of TFC and TFN membranes with different concentrations of nanoparticles
شکل ۳- زاویه تماس آب غشاهاي TFC و TFN با غلاطه های مختلف نانوذرات

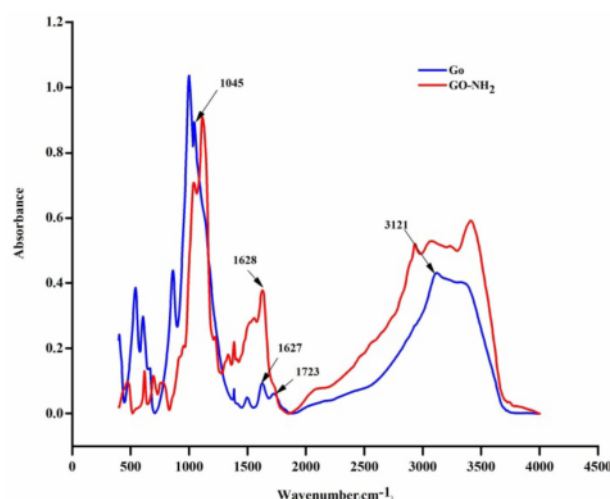


Fig. 1. FTIR spectrum of graphene oxide and graphene oxide nanoparticles modified with APTES
شکل ۱- طیف FTIR نانوذرات GO و GO اصلاح شده با APTES

۲-۳- بررسی آبدوستی غشاها
آبدوستی سطح غشا که با اندازه‌گیری زاویه تماس^۱ به دست می‌آید نقش مهمی در تراوش‌پذیری و کارایی غشا ایفا می‌کند. در شکل ۳ زاویه تماس بین قطره آب و سطح غشاهاي TFC و TFN را با غلاطه های مختلف نانوذرات GO نشان می‌دهد. غشاهاي پلی‌آمید نسبتاً آبگریز و با زاویه تماس بیشتر هستند، به طوری که مقدار آن در این پژوهش برای غشاي TFC، از ۶۵ درجه برای غشاي خالص TFC تا ۱۸ درجه برای غشاي TFN3 کاهش می‌یابد. بنابراین، نتایج به دست آمده از آنالیز آبدوستی نشان می‌دهد که زاویه تماس با افزایش محتوای نانوذرات در غشا کاهش یافته و منجر به افزایش آبدوستی غشاي TFN در مقایسه با غشاي خالص TFC می‌شود. دلیل این امر را می‌توان به فراوانی گروههای عاملی اکسیژنی و قطبی مربوط به نانوذرات GO پراکنده شده بر سطح غشا نسبت داد (Gonçalves et al., 2010).

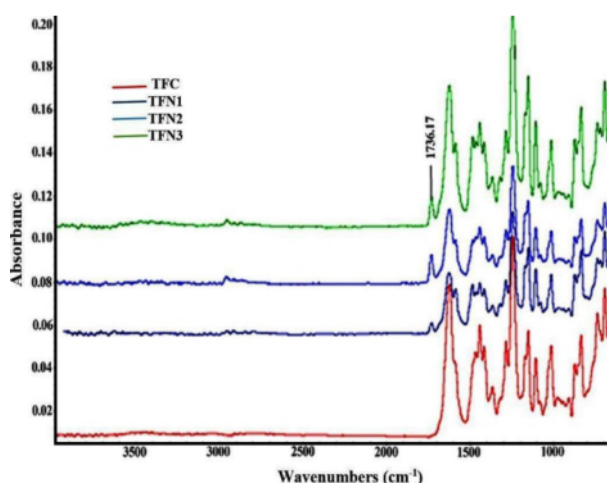


Fig. 2. FTIR spectrum of TFC and TFN membranes
شکل ۲- طیف FTIR غشاهاي TFC و TFN

شکل ۳ طیف FTIR مربوط به غشاهاي TFC (به عنوان شاهد) و غشاهاي TFN مختلف را نشان می‌دهد. پیک‌های نانوذره در ۱۷۳۲ cm⁻¹ و همچنین ۱۶۲۶ cm⁻¹ در غشاهاي کامپوزیت و نانوکامپوزیت مشاهده شد. پیک ۱۶۲۶ cm⁻¹ با پیک‌های آمیدی در هر دو غشا هم‌پوشانی دارد. پیک ۱۷۳۲ cm⁻¹ در نمونه غشاي TFN در غشاي TFC وجود ندارد که حضور نانوذرات در غشاي TFN نانوکامپوزیت را به خوبی نشان می‌دهد.

^۱ Contact Angle

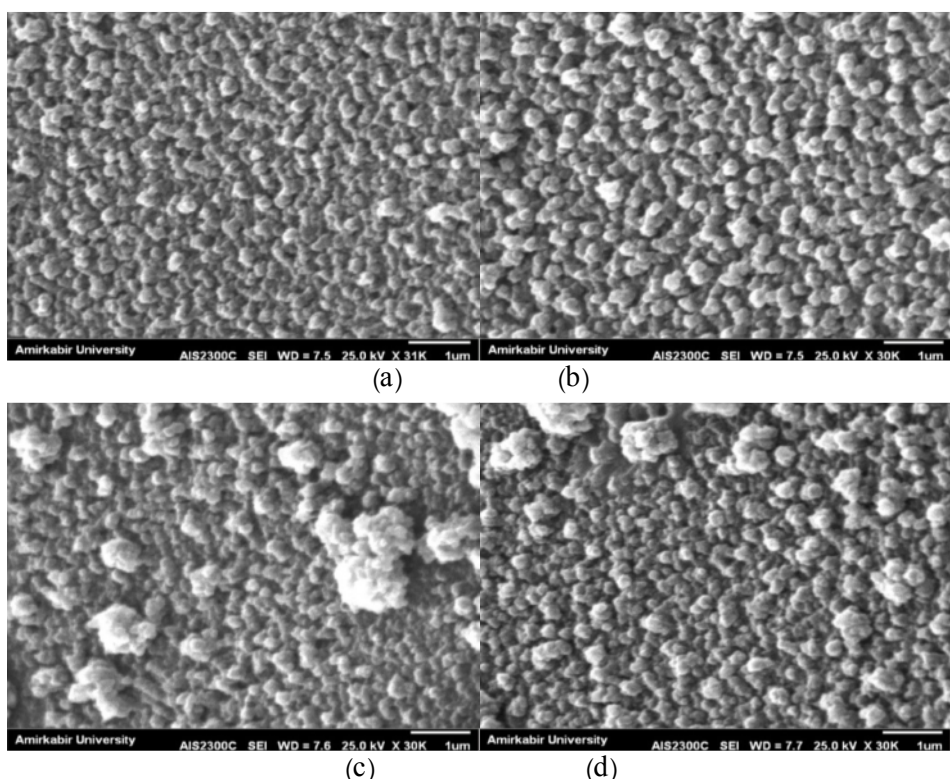


Fig. 4. SEM images of a) TFC and b, c, d) TFN membranes with different concentrations of graphene oxide nanoparticles

شکل ۴- تصاویر SEM غشاهای (a) TFC و (b, c, d) TFN با غلظت‌های مختلف نانوذرات GO

به همراه زاویه تماس در شکل ۵ نشان داده شده است. مطابق شکل با افروden غلظت‌های مختلف نانوذرات، شار آب خالص عبوری همه غشاهای TFN افزایش می‌یابد و مقدار آنها در مقایسه با غشای خالص TFC بیشتر می‌شود، به طوری که مقدار آن از $42 \text{ L/m}^2 \cdot \text{h}$ برای غشای TFC تا مقدار $95 \text{ L/m}^2 \cdot \text{h}$ برای غشای TFN3 محتوی $1/\text{o}$ درصد وزنی نانوذرات، افزایش می‌یابد. این روند نشان‌دهنده اثر مثبت این نانوذرات روی گذردهی آب غشاهای است. این پدیده را می‌توان به خاصیت آبدوستی نانوذرات GO نسبت داد (Wu et al., 2013).

از طرف دیگر کاهش شار آب برای غشای TFN3 را به احتمال زیاد می‌توان به جذب بیشتر فلزات سنگین بر روی سطح غشای TFN3 نسبت داد. همچنین افزایش میزان نانوذرات ممکن است موجب کاهش شار آب شوند، اگرچه میزان پس‌زنی را افزایش می‌دهند. این می‌تواند به دلیل ایجاد یک لایه بر روی سطح غشا و زیاد شدن مقاومت غشا باشد.

مشاهده است. در نمونه‌های دیگر با افزایش غلظت نانوذرات GO، ساختار و مورفولوژی سطح چار تغییراتی می‌شود به نحوی که ساختاری متفاوت از غشای TFC و لایه‌ای نازک از نانوذرات بر سطح غشا مشاهده می‌شود که در بعضی از قسمت‌ها تجمع آنها در سطح مشهودتر و توده‌ای شدن نانوذرات رخ داده است. در واقع لایه نانوکامپوزیت، همان لایه کامپوزیتی همراه با نانوذرات است، بنابراین مقاومت اضافی ایجاد نمی‌کند و از طرفی خواص کلی سطح را تغییر می‌دهد و موجب آبدوست‌تر شدن و افزایش شار می‌شود.

۴- بررسی کارایی غشاهای ساخته شده از لحاظ شار تراوایی و میزان پس‌زنی

۴-۱- بررسی شار آب خالص و زاویه تماس غشاهای TFC و TFN

نتایج حاصل از شار آب خالص PWF^۱ غشاهای ساخته شده

¹ Pure Water Flux (PWF)

تقریباً ثابت بود و به حداقل کارایی حذف ۹۸ درصد در pH برابر ۸ رسید. بهبود کارایی حذف را می‌توان با پارامترهایی چون، گروه‌های عاملی سطح، pH و تشکیل کمپلکس‌های سطحی توصیف کرد. از طرفی pH نیز نقش اساسی در جذب یون‌های Co(II) دارد، بهنحوی که تغییر pH محلول بر خواص سطحی نانوذرات GO، هیدرولیز، رسوب و تشکیل کمپلکس (Co II) مؤثر است (Wang et al., 2011).

با توجه به نتایج بدست آمده کمترین میزان پس‌زنی در pH برابر ۳ به دست آمد که این می‌تواند به دلیل رقابتی باشد که در محیط اسیدی بین یون‌های H^+ و کبالت بر سر تصاحب سایتهاي فعال جذب نانوذرات GO روی می‌دهد (Yu et al., 2014). با افزایش pH و غلظت نانوذرات، سایتهاي جذب روی نانوذرات گرافن و جاذبه الکترواستاتیک که نیروی محرکه لازم برای جذب یون‌های فلزی را فراهم می‌کند نیز در pHهای بازی افزایش و در نتیجه این امر باعث بهبود ظرفیت جذب یون‌های فلزی می‌شود. با توجه به منابع، نوع غالب یون‌های کبالت در pH بیشتر از ۸/۵ به شکل رسوب $Co(OH)_2$ است (Wang et al., 2011). بنابراین در pH بیش از ۸ و محیط بازی به دلیل افزایش یون‌های منفی هیدرولیکی در محلول، تمایل به تشکیل رسوب به دلیل واکنش یون‌های هیدرولیکی و کبالت بیشتر شده پس تغییرات زیادی در مقدار جذب یون‌های کبالت ایجاد نمی‌شود و به مقدار ثابتی می‌رسد (Chen et al., 2012).

۳-۴- تأثیر pH بر میزان تراوش‌پذیری غشاهاي ساخته شده

نتایج حاصل از شار تراوش‌پذیری محلول خوراک حاوی یون‌های کبالت در pHهای متفاوت در شکل ۷ نشان داده شده است. مطابق شکل شار تراوش‌پذیری محلول‌ها برای همه غشاهاي TFC و TFN با تغییر pH از ۳ به ۸ کاهش یافت، به طوری که شار تراوش‌پذیری به ترتیب برای غشای TFC از ۳۲ تا ۳۲ L/m².h، غشای TFN1 از ۲۲ L/m².h، غشای TFN2 از ۲۴ L/m².h و غشای TFN3 از ۶۵ L/m².h کاهش یافت. دلیل مشاهده این روند را می‌توان به ایجاد بارهای سطحی منفی روی سطح غشا با افزایش pH و افزایش جاذبه الکترواستاتیک بین یون‌های فلزی و گروه‌های عاملی ناشی از افزودن نانوذرات GO اصلاح شده

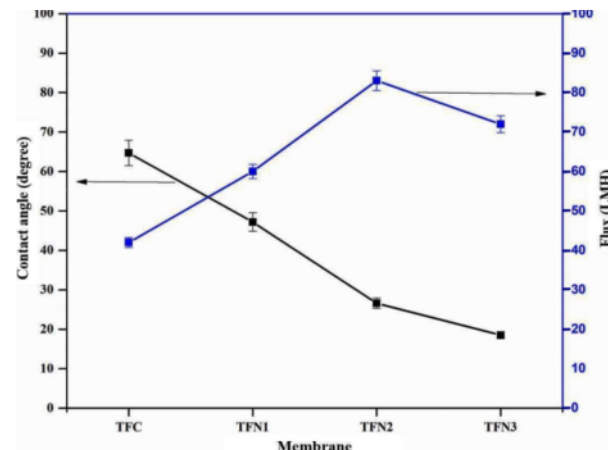


Fig. 5. Pure water flux and contact angle of TFC and TFN membranes

شکل ۵- شار آب خالص و زاویه تماس غشاهاي TFC و TFN

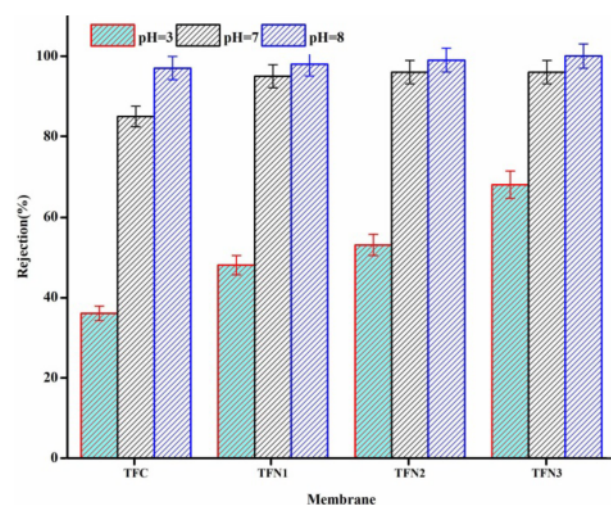


Fig. 6. Comparison of cobalt heavy metal rejection rates of TFC and TFN membranes at different pH

شکل ۶- مقایسه میزان پس‌زنی فلز سنگین کبالت غشاهاي TFC و TFN در pH متفاوت

۴- تأثیر pH بر میزان پس‌زنی غشاهاي ساخته شده

شکل ۶ میزان پس‌زنی غشاهاي TFC و TFN، را برای یون‌های فلزی (II) Co با غلظت ۱۰۰ ppm به عنوان خوراک در مقدار متفاوت pH معادل ۳، ۷ و ۸ نشان می‌دهد. مقدار پس‌زنی برای هر دو غشای TFC و TFN با تغییر غلظت نانوذرات و pH از ۳ تا ۸ افزایش یافت. به طوری که در pH برابر ۸، بیشینه و در pH برابر ۳ کمترین مقدار پس‌زنی مشاهده شد. همچنین در pH معادل ۷ و ۸ مقدار پس‌زنی تغییرات زیادی نسبت به غشای خالص نداشت و



محلول Co^{+2} . شارغشاهای TFC، TFN1، TFN2 و TFN3 به ترتیب ۱۹، ۲۲، ۳۲ و ۲۵ درصد کاهش یافت. کاهش شار ناشی از تجمع زیاد مولکول‌های فلزات سنگین کیالت بر روی سطح غشاهای پس از مدت زمان طولانی فیلتراسیون بود. این تجمع می‌تواند باعث تشکیل لایه کاتیونی شود که مقاومت غشاء فیلتراسیون را افزایش می‌دهد. با توجه به نتایج بدست آمده میزان کاهش شار خوراک حاوی فلز سنگین کیالت، برای غشاء TFC، ۳۲ درصد بود در حالی که میزان کاهش شار برای غشاهای TFN1، TFN2 و TFN3 کمتر از غشاء خالص بود. این نشان‌دهنده آن است که توزیع نانوذرات آبدوست GO در غشا به جلوگیری از کاهش شار سریع غشا کمک می‌کند. با توجه به نتایج بدست آمده از فیلتراسیون محلول Co^{+2} ، میزان کاهش شار برای غشاء TFN3 (درصد) بود که بیشتر از مقدار بدست آمده برای غشاء TFN1 (درصد) بود که بیشتر از مقدار بدست آمده برای غشاء TFC و TFN2 بود. در توجیه آن می‌توان گفت، هنگامی که محلول Co^{+2} از طریق غشاهای TFN3 نفوذ می‌کند، بسیاری از یون‌های Co^{+2} توسط نانوذرات GO که در ساختار غشا وجود دارند، جذب می‌شوند و به تدریج باعث تجمع یون‌های فلزی بر سطح غشا و کاهش شار می‌شوند. با توجه به مقدار کاهش شار انجام شده در طی مدت زمان ۴۲۰ دقیقه، غشاء TFN2 عملکرد بهتری در مقابل کاهش شار نسبت به غشاء TFC و سایر غشاهای نانوکامپوزیت دارد و پتانسیل لازم برای کاربردهای عملی دارد.

۴-۵- بررسی ظرفیت جذب Co^{+2} توسط غشاهای ساخته شده در غلظت‌های مختلف نانوذرات GO

شکل ۹ ظرفیت جذب یون‌های کیالت در غشاهای TFC و TFN را نشان می‌دهد. مشاهده شد که نانوذرات GO به افزایش جذب یون‌های فلزی کیالت کمک می‌کنند. با توجه به شکل میزان جذب برای غشاهای TFC، TFN1، TFN2 و TFN3 به ترتیب $1/6$ ، $1/8$ ، $1/22$ و $1/86$ میلی‌گرم بر گرم است. کمترین میزان جذب فلز سنگین مربوط به غشاء TFC و بیشترین میزان جذب مربوط به غشاء TFN2 است. برخی از گروه‌های آمینه پس از اصلاح APTES بر روی سطح GO ایجاد شدند و مکان‌های جذب مؤثرتری را ارائه کردند که واکنش‌های کیلت با یون‌های کاتیونی فلزی داشتند. با این حال، زمانی که محلول یون Co^{+2} از طریق غشاهای نانوکامپوزیت که از طریق پوشش نانوذرات GO بر سطح

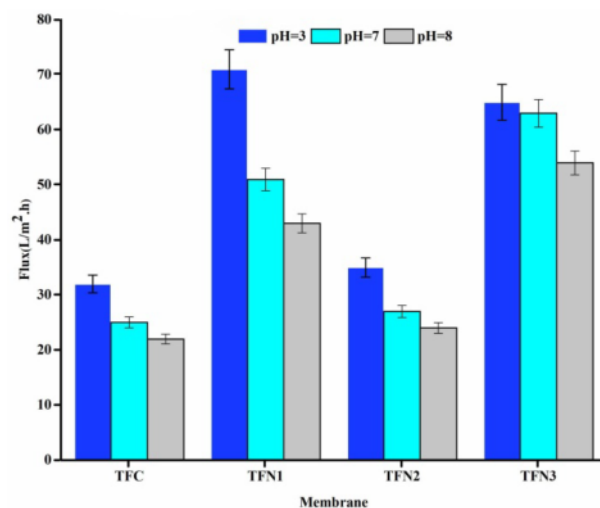


Fig. 7. Comparison of permeability of TFC and TFN membranes at different pH

شکل ۷- مقایسه میزان تراویش پذیری غشاهای TFC و TFN در pH متفاوت

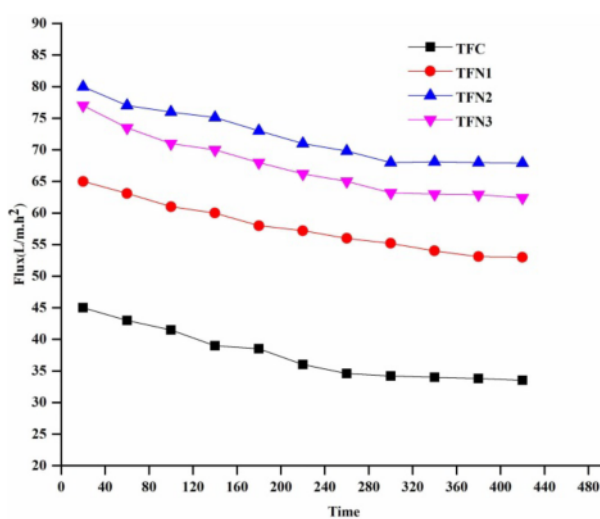


Fig. 8. Evaluated of the flux TFC and TFN membranes with respect to time

شکل ۸- ارزیابی شار غشاهای TFC و TFN نسبت به زمان

نسبت داد (Childress and Elimelech, 2000).

۴-۶- ارزیابی شار غشاهای TFC و TFN نسبت به زمان

آزمایش ارزیابی شار نسبت به زمان، برای غشاهای TFC، TFN1، TFN2 و TFN3 انجام شد و نتایج آن در شکل ۸ ارائه شده است. شار همه غشاهای به تدریج در طول فرایند فیلتراسیون محلول Co^{+2} کاهش یافت. در شکل ۱۱، پس از تصفیه به مدت ۴۲۰ دقیقه



نانوذرات بر سطح غشای TFC، با موفقیت ساخته شد. با هدف اصلاح سطح غشاهای TFC نانوذرات GO اصلاح شده با APTES، پس از ترکیب با فعال‌کننده EDC بر سطح غشای پلی‌آمیدی فیلم نازک لایه نشانی شد. اثر غلظت‌های مختلف نانوذرات GO اصلاح شده بر ویژگی‌های سطحی و عملکرد غشا از جمله شار عبوری، میزان پس‌زنی فلز سنگین کیالت، آزمون‌های FTIR و آبدوستی بررسی شد.

تصاویر SEM نشان‌دهنده تشکیل لایه پوششی نانوذرات GO بر سطح غشای پلی‌آمیدی بودند. تجزیه و تحلیل FTIR وجود نانوذرات GO بر سطح غشا را تأیید و اندازه‌گیری زاویه تماس نیز افزایش خاصیت آبدوستی را با افزایش غلظت نانوذرات نسبت به غشای خالص اولیه نشان داد. مقدار شار آب خالص عبوری از غشا با اصلاح سطح غشای پلی‌آمیدی و تغییر محتوای نانوذرات GO به دلیل طبیعت و خاصیت آبدوستی بالای نانوذرات GO افزایش یافت.

افزون بر این نتایج عملکردی فیلتراسیون غشایی نشان‌دهنده این بود که پارامتر pH نقش مهمی در پس‌زنی و جذب یون‌های کیالت بر سطح غشاهای ساخته شده دارد. به طوری که به دلیل تغییرات سایت‌های جذب غشاهای با افزایش pH محلول از ۳ به ۸، میزان حذف یون‌های فلز سنگین کیالت تا ۹۸ درصد افزایش در حالی میزان شار عبوری از غشاهای کاهش می‌یابد. بنابراین غشاهای ساخته شده می‌توانند به عنوان یک روش جدید و مؤثر در زمینه حذف فلزات سنگین استفاده شوند. به طور کلی می‌توان نتیجه گرفت که غشای TFN2 حالت بهینه است که شار بالایی دارد و میزان پس‌زنی در آن کاهش نیافته است. همچنین در pHها و غلظت‌های متفاوت نتایج خوبی از خود نشان می‌دهد.

۶- قدردانی

نویسندهای پژوهش از دانشگاه آزاد اسلامی واحد یاسوج به خاطر حمایت‌هایی که در انجام این پژوهش انجام داده‌اند، قدردانی می‌کنند.

References

- Chen, H., Li, J., Shao, D., Ren, X. & Wang, X. 2012. Poly (acrylic acid) grafted multiwall carbon nanotubes by plasma techniques for Co (II) removal from aqueous solution. *Chemical Engineering Journal*, 210, 475-481.

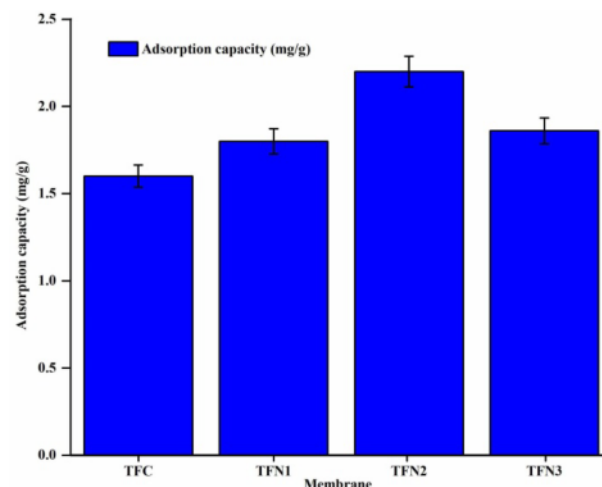


Fig. 9. Diagram adsorption capacity of cobalt ions TFC and TFN membranes at different concentrations of graphene oxide nanoparticles (temperature: 25 °C, pressure: 8 bar, cobalt concentration: 100 ppm, pH=7)

شکل ۹- نمودار جذب یون‌های کیالت غشاهای TFC و TFN در غلظت‌های مختلف نانوذرات GO در دمای ۲۵ درجه سلسیوس، فشار ۸ بار، غلظت کیالت میزان ۱۰۰ ppm و pH معادل ۷

غشا ساخته شده‌اند نفوذ کرد، وضعیت متفاوت است و حذف بالای یون‌های Co^{+2} نه تنها ناشی از کاهش اندازه منافذ است، بلکه ناشی از جذب یون‌های کیالت توسط مولکول‌های APTES در سطح غشا است که مکان‌های جذب بیشتری را با اکنش کمپلکس بین گروه‌های آمینه و یون‌های Co^{+2} فراهم می‌کند. (Zeng et al., 2016)

در واقع نانوذرات پوشش داده شده بر سطح غشا سایت‌های جذب فعال بیشتری بر سطح غشا ایجاد می‌کنند ولی از طرف دیگر، افزایش غلظت نانوذرات باعث تجمع نانوذرات بر سطح غشا و کاهش سطح جذب مؤثر غشا می‌شود که این کاهش میزان جذب برای غلظت بیشتر نانوذرات (TFN3) قابل مشاهده است.

۵- نتیجه‌گیری

در این پژوهش غشاهای نانوفیلتراسیون نانوکامپوزیت پلی‌آمیدی فیلم نازک جدید بر پایه GO اصلاح شده به روش پوشش دهی



- Childress, A. E. & Elimelech, M. 2000. Relating nanofiltration membrane performance to membrane charge (electrokinetic) characteristics. *Environmental Science and Technology*, 34, 3710-3716.
- Emadzadeh, D., Lau, W., Rahbari-Sisakht, M., Daneshfar, A., Ghanbari, M., Mayahi, A., et al. 2015. A novel thin film nanocomposite reverse osmosis membrane with superior anti-organic fouling affinity for water desalination. *Desalination*, 368, 106-113.
- Gonçalves, G., Marques, P. A., Barros-Timmons, A., Bdkin, I., Singh, M. K., Emami, N., et al. 2010. Graphene oxide modified with PMMA via ATRP as a reinforcement filler. *Journal of Materials Chemistry*, 20, 9927-9934.
- Hermans, S., Mariën, H., Dom, E., Bernstein, R. & Vankelecom, I. F. 2014. Simplified synthesis route for interfacially polymerized polyamide membranes. *Journal of Membrane Science*, 451, 148-156.
- Khaligh, N. G. & Johan, M. R. 2020. Recent advances in water treatment using graphene-based materials. *Mini-Reviews in Organic Chemistry*, 17, 74-90.
- Kumar, R. & Sharma, R. K. 2019. Synthesis and characterization of cellulose based adsorbents for removal of Ni (II), Cu (II) and Pb (II) ions from aqueous solutions. *Reactive and Functional Polymers*, 140, 82-92.
- Lai, G., Lau, W., Goh, P., Ismail, A., Tan, Y., Chong, C., et al. 2018. Tailor-made thin film nanocomposite membrane incorporated with graphene oxide using novel interfacial polymerization technique for enhanced water separation. *Chemical Engineering Journal*, 344, 524-534.
- Li, Z., Wang, R., Young, R. J., Deng, L., Yang, F., Hao, L., et al. 2013. Control of the functionality of graphene oxide for its application in epoxy nanocomposites. *Polymer*, 54, 6437-6446.
- Marcano, D. C., Kosynkin, D. V., Berlin, J. M., Sinitskii, A., Sun, Z., Slesarev, A., et al. 2010. Improved synthesis of graphene oxide. *ACS Nano*, 4, 4806-4814.
- Ren, P. G., Yan, D. X., Ji, X., Chen, T. & Li, Z. M. 2010. Temperature dependence of graphene oxide reduced by hydrazine hydrate. *Nanotechnology*, 22, 055705.
- Saeedi-Jurkuyeh, A., Jafari, A. J., Kalantary, R. R. & Esrafili, A. 2020. A novel synthetic thin-film nanocomposite forward osmosis membrane modified by graphene oxide and polyethylene glycol for heavy metals removal from aqueous solutions. *Reactive and Functional Polymers*, 146, 104397.
- Shao, W., Liu, C., Ma, H., Hong, Z., Xie, Q. & Lu, Y. 2019. Fabrication of pH-sensitive thin-film nanocomposite nanofiltration membranes with enhanced performance by incorporating amine-functionalized graphene oxide. *Applied Surface Science*, 487, 1209-1221.
- Shukla, A. K., Alam, J., Alhoshan, M., Dass, L. A., Ali, F. a. A., Mishra, U., et al. 2018. Removal of heavy metal ions using a carboxylated graphene oxide-incorporated polyphenylsulfone nanofiltration membrane. *Environmental Science: Water Research and Technology*, 4, 438-448.
- Wang, Q., Li, J., Chen, C., Ren, X., Hu, J. & Wang, X. 2011. Removal of cobalt from aqueous solution by magnetic multiwalled carbon nanotube/iron oxide composites. *Chemical Engineering Journal*, 174, 126-133.
- Wu, H., Tang, B. & Wu, P. 2013. Optimizing polyamide thin film composite membrane covalently bonded with modified mesoporous silica nanoparticles. *Journal of Membrane Science*, 428, 341-348.
- Xiao, W., Yan, B., Zeng, H. & Liu, Q. 2016. Dendrimer functionalized graphene oxide for selenium removal. *Carbon*, 105, 655-664.
- Yu, J. G., Zhao, X. H., Yu, L. Y., Jiao, F. P., Jiang, J. H. & Chen, X. Q. 2014. Removal, recovery and enrichment of metals from aqueous solutions using carbon nanotubes. *Journal of Radioanalytical and Nuclear Chemistry*, 299, 1155-1163.
- Zargar, M. 2016. Novel thin film nanocomposite membranes with improved properties for enhanced desalination performance. *School of Chemical Engineering*, University of Adelaide, South Australia.
- Zeng, G., He, Y., Zhan, Y., Zhang, L., Pan, Y., Zhang, C., et al. 2016. Novel polyvinylidene fluoride nanofiltration membrane blended with functionalized halloysite nanotubes for dye and heavy metal ions removal. *Journal of Hazardous Materials*, 317, 60-72.



This work is licensed under a [Creative Commons Attribution 4.0 International License](#)

